

Сверхпроводимость в неадиабатических системах с «протяженной» особенностью в электронном энергетическом спектре

М.Е. Палистрант

Институт прикладной физики АН Молдовы, ул. Академическая, 5, г. Кишинев, 2028, Молдова
E-mail: statphys@asm.md

Статья поступила в редакцию 12 июля 2004 г.

Получено уравнение для определения температуры сверхпроводящего перехода T_c в линейном по неадиабатичности приближении в системе с корневой особенностью в плотности электронных состояний. Вычислена вершинная функция и получены аналитические выражения для T_c в предельных случаях $T_c \ll \mu_1$ и $\mu_1 = 0$ (μ_1 — особая точка), а также выражение для коэффициента изотопического эффекта. Показано, что вклад неадиабатических эффектов в T_c является значительным и уменьшается по мере приближения к особой точке $\mu_1 = 0$, а малость изотопического эффекта обязана наличию рассматриваемой особенности в электронном энергетическом спектре и неадиабатичности системы.

Отримано рівняння для визначення температури надпровідного переходу T_c у лінійному по неадіабатичності наближенні в системі з корневою особливістю в щільності електронних станів. Обчислено верхову функцію і отримано аналітичні вирази для T_c у граничних випадках $T_c \ll \mu_1$ і $\mu_1 = 0$ (μ_1 — особлива точка), а також вираз для коефіцієнта ізотопічного ефекту. Показано, що внесок неадіабатичних ефектів у T_c є значним і зменшується в міру наближення до особливої точки $\mu_1 = 0$, а малість ізотопічного ефекту зобов'язана наявності особливості, яку розглядають, в електронному енергетичному спектрі і неадіабатичності системи.

PACS: 74.20.-z, 74.10.+v

1. Введение

Материалы с высокотемпературными сверхпроводящими свойствами (оксидная керамика, фуллерены, органические соединения) являются очень сложными системами. Они обладают богатым набором свойств, последовательный учет и понимание которых способствует решению основной проблемы: выявлению механизма высокотемпературной сверхпроводимости. К настоящему времени раскрыты многие свойства, присущие этим материалам, в частности, наличие особенностей в электронном энергетическом спектре, которые способствуют повышению температуры сверхпроводящего перехода T_c .

Экспериментальные исследования электронной структуры $\text{YBa}_2\text{Cu}_3\text{O}_{6.9}$ и $\text{YBa}_2\text{Cu}_4\text{O}_8$ [1] показывают наличие «протяженной» особой седловой точки в зоне, определяемой плоскостью CuO_2 . В работе [1] предложена простая модель возникновения

этой особой точки. При определенных условиях, налагаемых на параметры теории, можно получить одномерную плотность электронных состояний, которая расходится как корень квадратный от энергии

$$N(\varepsilon) = N_0 \sqrt{\frac{E}{\varepsilon - \varepsilon_0}}, \quad (1)$$

где E — величина порядка электронной энергии, ε_0 — особая точка. Наличие «протяженной» особенности позволяет достигнуть высоких T_c независимо от механизма сверхпроводимости (фононного или нефононного). В работах Абрикосова [1,2] теория построена на основании модели БКШ — Мигдала, которая применима для описания сверхпроводимости в металлах. В них выполняется соотношение $\varepsilon_F \gg \omega_0$ (ε_F — энергия Ферми, ω_0 — характерная фононная частота). Итриевые же соединения, в которых обнаружена эта особенность, являются неадиабатическими системами. Это неравенство не

выполняется, а имеет место соотношение $\epsilon \sim \omega_0$. В этом случае происходит нарушение теоремы Мигдала [3] и необходимо построить теорию сверхпроводимости для систем с «протяженной» особой точкой, выйдя за рамки теоремы Мигдала, путем учета дополнительных многочастичных процессов. Методика такого учета, предложенная, например в [4,5], применялась нами в дальнейшем для исследования термодинамических свойств неадиабатических сверхпроводников с переменной плотностью носителей заряда в чистых [6,7], а также примесных системах [8,9]. Проведенные в этих работах исследования показывают, что эффекты, связанные с неадиабатичностью системы и сильными электронными корреляциями, способствуют возникновению сверхпроводимости при высоких температурах. В системах с магнитной примесью они замедляют убывание T_c с ростом концентрации примеси, увеличивают область бесщелевого состояния и область существования сверхпроводимости и ферромагнетизма. Существенное влияние они оказывают на кроссовер сценария БКШ сверхпроводимости — бозе-конденсация локальных пар (сценарий Шаффрота) в области низких плотностей носителей заряда [6].

Целью настоящей работы является построение теории сверхпроводимости для систем, которым присуща неадиабатичность ($\epsilon_F \sim \omega_0$ или $\epsilon \ll \omega_0$), содержащих в энергетическом спектре «протяженную» особенность, т.е. одномерную плотность электронных состояний (1). Такими свойствами облашают, в частности, приведенные выше итриевые керамики.

Работа представлена следующим образом. В разделе 2 даны основные определения, в линейном по неадиабатичности приближении записаны выражения для массовых операторов и функций Грина (нормальной и аномальной), вычислена вершинная функция. В разделе 3 получено уравнение для определения температуры сверхпроводящего перехода в приближении слабой связи ($T_c \ll \omega_0$) и найдены аналитические решения в двух предельных случаях. В разделе 4 приведено выражение для коэффициента изотопического эффекта α . В последнем разделе выполнены численные решения уравнения, определяющего T_c при всех возможных значениях параметра μ_1/ω_0 . Рассчитан также коэффициент α и сделан анализ полученных результатов.

2. Основные определения. Вершинные функции

Мы исходим из гамильтониана, описывающего электрон-фононную систему, и используем теорию

возмущений [10] при определении мацубаровских функций Грина (нормальных и аномальных). Ряд теории возмущений для собственно-энергетических операторов (диагонального $\Sigma_N(\mathbf{p}\Omega)$ и недиагонального $\Sigma_S(\mathbf{p}\Omega)$) учитывает диаграммы во всех порядках теории возмущений по электрон-фононному взаимодействию, как это делается в случае адиабатических систем, и дополнительные диаграммы, содержащие вершинные поправки и соответствующие пересечению двух линий электрон-фононного взаимодействия. Обоснование такого приближения дано в [4,5] (см. также [6,7]). Таким образом, для массовых операторов Σ_N и Σ_S получаем

$$\Sigma_N(\mathbf{p}\Omega) = \frac{1}{\beta V} \sum_{\mathbf{p}_1\Omega_1} V_N(pp_1) G(\mathbf{p}_1\Omega_1), \quad (2)$$

$$\Sigma_S(\mathbf{p}\Omega) = \frac{1}{\beta V} \sum_{\mathbf{p}_1\Omega_1} V_S(pp_1) F(\mathbf{p}_1\Omega_1), \quad (3)$$

где

$$V_N(pp_1) = -g^2 D(\Omega - \Omega_1)[1 + \lambda_0 P_V(\mathbf{p}\mathbf{p}_1\Omega\Omega_1)], \quad (4)$$

$$V_S(\mathbf{p}\mathbf{p}_1) = -g^2 D(\Omega - \Omega_1) \times \\ \times [1 + 2\lambda_0 P_V(\mathbf{p}\mathbf{p}_1\Omega\Omega_1) + \lambda_0 P_C(\mathbf{p}\mathbf{p}_1\Omega\Omega_1)]. \quad (5)$$

Здесь $D(\Omega - \Omega_1)$ соответствует фононной функции Грина

$$D(\omega) = -\frac{\omega_0^2}{\omega^2 + \omega_0^2}, \quad (6)$$

g^2 — константа электрон-фононного взаимодействия, $\lambda_0 = N_0 g^2$, P_V и P_C — вершинная и пересекающаяся функции, соответственно:

$$P_V(\mathbf{p}\mathbf{p}_1\Omega\Omega_1) = -\frac{g^2}{\beta V} \sum_{\mathbf{p}_2\Omega_2} D(\Omega - \Omega_2) G(\mathbf{p}_2\Omega_2) \times \\ \times G(\mathbf{p}_1 + \mathbf{p}_2 - \mathbf{p}, \Omega_1 + \Omega_2 - \Omega), \\ P_C(\mathbf{p}\mathbf{p}_1\Omega\Omega_1) = -\frac{g^2}{\beta V} \sum_{\mathbf{p}_2\Omega_2} D(\Omega - \Omega_2) G(\mathbf{p}_2\Omega_2) \times \\ \times G(\mathbf{p}_2 - \mathbf{p} - \mathbf{p}_1, \Omega_2 - \Omega - \Omega_1). \quad (7)$$

В дальнейшем мы будем рассматривать область значений температур близких к критической T_c . В этом случае для функций G и F можем ограничиться выражениями

$$G(\mathbf{p}\Omega) = \frac{1}{Zi\Omega - \tilde{\varepsilon}_p}, \quad F(\mathbf{p}\Omega) = \frac{\Sigma_S(\Omega)}{Z^2\Omega^2 - \tilde{\varepsilon}_p^2}, \quad (8)$$

где

$$Z = 1 - \lim_{\Omega \rightarrow 0} \frac{1}{\Omega} \operatorname{Im} \Sigma_N(\Omega); \quad \tilde{\varepsilon}_p = \varepsilon_p + \operatorname{Re} \Sigma_N(0); \quad (9)$$

$$\Sigma_N(\Omega) = \Sigma_N(\mathbf{p}_F \Omega); \quad \Sigma_S(0) = \Sigma_S(\mathbf{p}_F 0).$$

Отметим, что выражения (2) и (3) содержат полные функции Грина с учетом электрон-фононного взаимодействия во всех порядках теории возмущений. Приближение состоит в учете только линейного приближения по неадиабатичности, что соответствует учету диаграмм с пересечением двух линий электрон-фононного взаимодействия (наличия в (4) и (5) вершинной P_V и пересекающейся P_C функций). Это обстоятельство позволяет при вычислении функций P_V и P_C воспользоваться функцией Грина (8), положив в ней $Z = 1$ и $\tilde{\varepsilon}_p = \varepsilon_p$. Так же как и в предыдущих работах [6–9], в выражениях (7) выполним суммирование по Ω_2 в приближении слабой связи ($T_c \ll \omega_0$), что равнозначно интегрированию по частоте при $T = 0$. Переходя затем от суммирования по \mathbf{p}_2 к интегрированию по энергии в соответствии с наличием в системе «протяженной» особенности [1]:

$$\frac{1}{V} \sum_{\mathbf{p}_2} \dots \rightarrow \int_0^W N(\xi_{p_2}) d\xi_{p_2} = \int_{-\mu_1}^{W-\mu_1} N(\varepsilon_{p_2} + \mu) d\varepsilon_{p_2}. \quad (10)$$

Здесь плотность электронных состояний $N(\varepsilon)$ определяется соотношением (1). Применим метод прямого вычисления аналогично расчетам, выполненными в [3–6]. Благодаря одномерному закону дисперсии энергии электронов и их рассеянию «вперед», имеем $\mathbf{p} \rightarrow p_x \sim p_{1x} \sim p_{2x} = p_F$, что позволяет заменить величины $\varepsilon_{\mathbf{p}_2 - \mathbf{p} + \mathbf{p}_1}$ и $\varepsilon_{\mathbf{p}_2 - \mathbf{p} - \mathbf{p}_1}$ на $\varepsilon_{\mathbf{p}_2}$. Такая замена существенно упрощает расчеты по сравнению с трехмерными и двумерными системами [6–9], поскольку в этом случае отсутствует интегрирование по угловым переменным.

Получаем

$$\operatorname{Re} P_V(0\Omega_1) = \operatorname{Re} P_C(0\Omega_1) = \frac{\omega_0 \sqrt{E}}{2\Omega_1} [\varphi_+ + \varphi_-], \quad (11)$$

где

$$\begin{aligned} \lim_{\Omega \rightarrow 0} \frac{1}{\Omega} \operatorname{Im} \Sigma_N(\Omega) &= -\frac{\omega_0 \sqrt{E} \lambda_z^0}{2} \left\{ -\frac{\sqrt{W}}{(\mu_1 - \omega_0)(W - \mu_1 + \omega_0)} + \frac{\sqrt{\mu_1}}{\omega_0} \left(\frac{1}{\mu_1 + \omega_0} + \frac{1}{\mu_1 - \omega_0} \right) - \right. \\ &- \frac{1}{2(\mu_1 + \omega_0)^{3/2}} \ln \frac{\sqrt{\mu_1 + \omega_0} - \sqrt{\mu_1}}{\sqrt{\mu_1 + \omega_0} + \sqrt{\mu_1}} - \frac{1}{2} \frac{1}{(\mu_1 - \omega_0)^{3/2}} \left[\ln \frac{\sqrt{W} - \sqrt{\mu_1 - \omega_0}}{\sqrt{W} + \sqrt{\mu_1 - \omega_0}} - \ln \frac{\sqrt{\mu_1} - \sqrt{\mu_1 - \omega_0}}{\sqrt{\mu_1} + \sqrt{\mu_1 - \omega_0}} \right] \Theta(\mu_1 - \omega_0) + \\ &\left. + \frac{1}{(\omega_0 - \mu_1)^{3/2}} \left[\operatorname{arctg} \sqrt{\frac{W}{\omega_0 - \mu_1}} - \operatorname{arctg} \sqrt{\frac{\mu_1}{\omega_0 - \mu_1}} \right] \Theta(\omega_0 - \mu_1) \right\}, \end{aligned} \quad (14)$$

$$\begin{aligned} \varphi_+ &= \frac{A_+}{A_+^2 + B_+^2} \left[\operatorname{arctg} \frac{B_+}{A_+ - \sqrt{\mu_1}} - \operatorname{arctg} \frac{B_+}{\sqrt{\mu_1} + A_+} \right] - \\ &- \frac{B_+}{A_+^2 + B_+^2} \frac{1}{2} \ln \frac{(A_+ - \sqrt{\mu_1})^2 + B_+^2}{(A_+ + \sqrt{\mu_1})^2 + B_+^2}, \\ \varphi_- &= \frac{B_-}{A_-^2 + B_-^2} \left[\frac{1}{2} \ln \frac{(W^{1/2} + A_-)^2 + B_-^2}{(W^{1/2} - A_-)^2 + B_-^2} - \right. \\ &- \frac{1}{2} \ln \frac{(\sqrt{\mu_1} + A_-)^2 + B_-^2}{(\sqrt{\mu_1} - A_-)^2 + B_-^2} \left. \right] - \frac{A_-}{A_-^2 + B_-^2} \times \\ &\times \left[\operatorname{arctg} \frac{B_-}{W^{1/2} - A_-} + \operatorname{arctg} \frac{B_-}{W^{1/2} + A_-} - \right. \\ &\left. - \operatorname{arctg} \frac{B_-}{\sqrt{\mu_1} + A_-} + \operatorname{arctg} \frac{B_-}{A_- - \sqrt{\mu_1}} - \pi \Theta(A_- - \sqrt{\mu_1}) \right]. \end{aligned} \quad (12)$$

Величины A_{\pm} , B_{\pm} определяются выражениями

$$\begin{aligned} A_{\pm} &= \frac{1}{\sqrt{2}} \left[\sqrt{(\mu_1 \pm \omega_0)^2 + \Omega_1^2} + (\mu_1 \pm \omega_0) \right]^{1/2}, \\ B_{\pm} &= \frac{\operatorname{sgn} \Omega_1}{\sqrt{2}} \left[\sqrt{(\omega_0 \pm \mu_1)^2 + \Omega_1^2} - (\mu_1 \pm \omega_0) \right]^{1/2}. \end{aligned} \quad (13)$$

Нетрудно видеть на основании формул (11)–(13), что выполняется соотношение $\operatorname{Re} P_V(0\Omega_1) = \operatorname{Re} P_V(0 - \Omega_1)$. Здесь не приведено выражение $\operatorname{Im} P_V(0\Omega_1)$. Отметим, однако, что $\operatorname{Im} P_V(0\Omega_1) = -\operatorname{Im} P_V(0 - \Omega_1)$. Это обстоятельство позволяет не рассматривать в дальнейшем это выражение, поскольку оно не дает вклада в собственно-энергетические уравнения (2), (3). Подставляем в (2) определения (4), (6) и (8) и выполняем суммирование по Ω_1 стандартным образом, заменяя его на интегрирование при $T = 0$. Переходим затем к интегрированию по энергии ε_{p_1} , используя одномерную плотность электронных состояний (1).

В результате этих вычислений получаем

$$\begin{aligned} \operatorname{Re} \Sigma_N(0) = & -\frac{\lambda_z^0 \omega_0 \sqrt{E}}{2} \left\{ \frac{1}{\sqrt{\mu_1 - \omega_0}} \left[\ln \frac{\sqrt{W} - \sqrt{\mu_1 - \omega_0}}{\sqrt{W} + \sqrt{\mu_1 - \omega_0}} - \ln \frac{\sqrt{\mu_1} - \sqrt{\mu_1 - \omega_0}}{\sqrt{\mu_1} + \sqrt{\mu_1 - \omega_0}} \right] \times \right. \\ & \times \Theta(\mu_1 - \omega_0) + \frac{2}{\sqrt{\omega_0 - \mu_1}} \left[\arctg \sqrt{\frac{W}{\omega_0 - \mu_1}} - \arctg \sqrt{\frac{\mu_1}{\omega_0 - \mu_1}} \right] \times \\ & \times \Theta(\omega_0 - \mu_1) + \left. \frac{1}{\sqrt{\mu_1 + \omega_0}} \ln \frac{\sqrt{\mu_1 + \omega_0} - \sqrt{\mu_1}}{\sqrt{\mu_1 + \omega_0} + \sqrt{\mu_1}} \right\}, \end{aligned} \quad (15)$$

где $\lambda_z^0 = \lambda_0 [1 + \lambda_0 P_V(0\omega_0)]$, $\Theta(x) = 1$ при $x > 0$ и 0 при $x < 0$.

3. Температура сверхпроводящего перехода

Исходя из выражения для массового оператора Σ_S (3), подставляем в эту формулу определения (4) и (8) и выносим из-под знака суммы по Ω_1 выражение P_V в точках $\Omega = 0$, $\Omega_1 = \omega_0$ [4,5]. Воспользуемся далее приближением, которое используется в теории сверхпроводимости с электрон-фононным взаимодействием [11,12]:

$$\frac{\omega_0^2}{(\Omega - \Omega_1)^2 + \omega_0^2} \rightarrow \frac{\omega_0^2}{\Omega^2 + \omega_0^2} \frac{\omega_0^2}{\Omega_1^2 + \omega_0^2}. \quad (17)$$

Эти операции приводят к выражению

$$\Sigma_S(\Omega) = \lambda_\Delta^0 \frac{\omega_0^2}{\Omega^2 + \omega_0^2} \frac{1}{\beta V} \sum_{p_1 \Omega_1} \frac{\omega_0^2}{\Omega_1^2 + \omega_0^2} \frac{\Sigma_S(\Omega_1)}{\tilde{\varepsilon}_{p_1}^2 + \Omega_1^2 Z^2}, \quad (18)$$

где

$$\lambda_\Delta^0 = \lambda_0 [1 + 3\lambda_0 P_V(0\omega_0)]. \quad (19)$$

Представим (18) в виде

$$\Sigma_S(\Omega) = \lambda_\Delta^0 \frac{\omega_0^2}{\Omega^2 + \omega_0^2} A. \quad (20)$$

Подставляя (17) и (20) в (18) и используя формулу (1), получаем уравнения для определения температуры сверхпроводящего перехода в неадиабатической системе с «протяженной» особенностью в энергетическом спектре:

$$\begin{aligned} 1 = & \lambda_\Delta^0 \int_{-\mu_1}^{W-\mu_1} d\tilde{\varepsilon}_{p_1} \frac{\sqrt{E}}{\sqrt{\tilde{\varepsilon}_{p_1} + \mu_1}} \times \\ & \times \frac{1}{\beta} \sum_{\Omega_1} \frac{\omega_0^2}{(\Omega_1^2 + \omega_0^2)} \left[1 - \frac{\Omega_1^2}{\Omega_1^2 + \omega_0^2} \right] \frac{1}{\tilde{\varepsilon}_{p_1}^2 + Z^2 \Omega_1^2}. \end{aligned} \quad (21)$$

Выполним в (21) суммирование по Ω_1 стандартным образом. Переходя к интегрированию, получаем уравнение

$$\begin{aligned} \frac{Z}{\lambda_\Delta^0} = & \frac{\omega_0}{2} \int_{-\mu_1}^{W-\mu_1} \frac{\sqrt{E} d\tilde{\varepsilon}_{p_1}}{\sqrt{Z\tilde{\varepsilon}_{p_1} + \tilde{\mu}_1}} \times \\ & \times \left[-\frac{\omega_0 \operatorname{th} \frac{\beta_c \tilde{\varepsilon}_{p_1}}{2}}{\tilde{\varepsilon}_{p_1}} + 1 \right] \frac{1}{\tilde{\varepsilon}_{p_1}^2 - \omega_0^2} - \\ & - \frac{\omega_0}{4} \int_{-\mu_1}^{W-\mu_1} \frac{\sqrt{E} d\tilde{\varepsilon}_{p_1}}{\sqrt{Z\tilde{\varepsilon}_{p_1} + \tilde{\mu}_1}} \frac{1}{(\omega_0 + |\tilde{\varepsilon}_{p_1}|)^2}, \end{aligned} \quad (22)$$

здесь $\tilde{\varepsilon}_{p_1} = \varepsilon_{p_1}/Z$, $\overline{W} = W/Z$, $\overline{\mu}_1 = \tilde{\mu}_1/Z$.

В (22) положим $T_c = 0$ во всех членах, кроме того, который содержит логарифмическую особенность по этой величине. Такое приближение справедливо в случае приближения слабой связи ($T_c \ll \omega_0$). Выполнив интегрирование по энергии в членах, не содержащих величины T_c , приведем (22) к виду

$$\frac{Z}{\lambda_\Delta^0} \sqrt{\frac{\mu_1}{E}} = \frac{\sqrt{\mu_1}}{2} \int_{-\mu_1}^{W-\mu_1} \frac{d\tilde{\varepsilon}_{p_1}}{\tilde{\varepsilon}_{p_1}} \frac{\operatorname{th} \frac{\beta_c \tilde{\varepsilon}_{p_1}}{2}}{\sqrt{Z\tilde{\varepsilon}_{p_1} + \tilde{\mu}_1}} - \Phi(\omega_0 \tilde{\mu}_1 W), \quad (23)$$

$$\begin{aligned} \Phi(\omega_0 \mu_1 W) = & +\frac{1}{4} \left[\frac{\tilde{\mu}_1}{\tilde{\mu}_1 + Z\omega_0} + \frac{\tilde{\mu}_1}{\tilde{\mu}_1 - Z\omega_0} \right] - \\ & - \frac{\omega_0 \sqrt{W\tilde{\mu}_1}}{4(\omega_0 + \overline{W} - \tilde{\mu}_1)(\tilde{\mu}_1 - Z\omega_0)} + \\ & + \frac{1}{2} \left[1 + \frac{Z\omega_0}{4(\tilde{\mu}_1 + Z\omega_0)} \right] I_1 + \frac{1}{2} \left[1 - \frac{Z\omega_0}{4(\tilde{\mu}_1 - Z\omega_0)} \right] I_2, \end{aligned} \quad (24)$$

$$I_1 = -\frac{\sqrt{\tilde{\mu}_1}}{\sqrt{\tilde{\mu}_1 + Z\omega_0}} \ln \frac{-\sqrt{\tilde{\mu}_1} + \sqrt{\tilde{\mu}_1 + Z\omega_0}}{\sqrt{\tilde{\mu}_1 + Z\omega_0} + \sqrt{\tilde{\mu}_1}},$$

$$\begin{aligned}
I_2 = & -\frac{\sqrt{\tilde{\mu}_1}}{\sqrt{\tilde{\mu}_1 - Z\omega_0}} \left[\ln \frac{\sqrt{W} - \sqrt{\tilde{\mu}_1 - Z\omega_0}}{\sqrt{W} + \sqrt{\tilde{\mu}_1 - Z\omega_0}} - \right. \\
& \left. - \ln \frac{\sqrt{\tilde{\mu}_1} - \sqrt{\tilde{\mu}_1 - Z\omega_0}}{\sqrt{\tilde{\mu}_1} + \sqrt{\tilde{\mu}_1 - Z\omega_0}} \right] \Theta(\tilde{\mu}_1 - Z\omega_0) + \\
& + \frac{2\sqrt{\tilde{\mu}_1}}{\sqrt{Z\omega_0 - \tilde{\mu}_1}} \left[\arctg \sqrt{\frac{W}{Z\omega_0 - \tilde{\mu}_1}} - \right. \\
& \left. - \arctg \frac{\sqrt{\tilde{\mu}_1}}{\sqrt{Z\omega_0 - \tilde{\mu}_1}} \right] \Theta(Z\omega_0 - \tilde{\mu}_1). \quad (25)
\end{aligned}$$

Получить аналитическое выражение для величины T_c на основании (23) удается в двух предельных случаях, а именно: $\bar{W}; \tilde{\mu}_1 \gg T_c$ и в особой точке $\mu_1 = 0$.

Выделив логарифмическую особенность по T_c в (23) при $W; \mu_1 \gg T_c$, получаем

$$\begin{aligned}
T_c = & \frac{8\bar{\mu}_1\gamma}{\pi} \left[\frac{\sqrt{W} - \sqrt{\tilde{\mu}_1}}{\sqrt{W} + \sqrt{\tilde{\mu}_1}} \right]^{1/2} \times \\
& \times \exp \left\{ -Z/\lambda_{\Delta}^0 \sqrt{\frac{\tilde{\mu}_1}{E}} - \Phi(\omega_0\tilde{\mu}_1 W) \right\}. \quad (26)
\end{aligned}$$

В точке $\mu_1 = 0$ на основании (23) имеем

$$\begin{aligned}
T_c = & \frac{A^2}{2Z_0} \left[\frac{Z_0}{\lambda_{\Delta_0}^0 \sqrt{E}} + \frac{1}{\sqrt{W}} + \frac{\sqrt{W}}{4(Z_0\omega_0 + W)} + \right. \\
& \left. + \frac{5}{4} \frac{1}{\sqrt{\omega_0 Z_0}} \arctg \sqrt{\frac{W}{Z_0\omega_0}} \right]^{-2}, \quad (27)
\end{aligned}$$

где

$$A = \int_0^\infty \frac{dx}{\sqrt{x} \operatorname{ch}^2 x} = 1,906; Z_0 = Z|_{\mu_1=0}; \lambda_{\Delta_0}^0 = \lambda_{\Delta}^0|_{\mu_1=0}.$$

В пределе $W \rightarrow \infty, P_V = 0, \omega_0 \rightarrow \infty$ получаем на основании (26) и (27) при $T_c \ll \mu_1$ и $\mu_1 = 0$ следующие выражения:

$$T_{c_0} = \frac{8\mu_1\gamma}{\pi} \exp(-1/\lambda_0 \sqrt{\mu_1/E}), \quad (28)$$

$$T_{c_0}^0 = \frac{A^2}{2} \lambda_0^2 E. \quad (29)$$

Эти формулы соответствуют случаю адиабатической системы с «протяженной» особенностью в энергетическом спектре без учета запаздывания и отвечают результатам работы [1].

Из сравнения (26) с (28) и (27) с (29) можно сделать вывод, что в неадиабатической системе, как и в

случае адиабатической, T_c растет с уменьшением химического потенциала (приближением его к особой точке ε_0). При этом происходит перенормировка параметров теории благодаря учету эффектов неадиабатичности, а также возникает в экспоненте правой части выражения (26) дополнительное слагаемое, $\Phi(\omega_0\tilde{\mu}_1 W)$, связанное с учетом запаздывания.

4. Изотопический эффект

Коэффициент изотопического эффекта определяется соотношением

$$\alpha = -\partial \ln T_c / \partial \ln M, \quad (30)$$

где M — средняя ионная масса. В обычных сверхпроводниках с электрон-фононным механизмом сверхпроводимости $\alpha = 1/2$.

Наличие особенностей Ван Хова в плотности электронных состояний приводит к значительному уменьшению этого коэффициента [2,12]. Это уменьшение объясняется заменой частоты Дебая, которая обрезает электрон-фононное взаимодействие, некоторой электронной энергией, независящей от массы иона. Кроме того, коэффициент α убывает с ростом параметра Мигдала ($m = \omega_0/\epsilon_F$) и может достигать малых значений [5–7] в неадиабатических системах.

В данном параграфе определим совместное влияние протяженной особенности в плотности электронных состояний и эффектов неадиабатичности на изотопический коэффициент α . Рассмотрим случай $\mu_1 \gg T_c$ исходя из определения температуры сверхпроводящего перехода (26). Для упрощения полагаем $W \rightarrow \infty, \bar{\mu}_1 \approx \mu_1$ и вводим величину $x = \omega_0/\mu_1$. Получаем

$$\alpha(x) = \frac{1}{2} \frac{\partial \ln T_c}{\partial \ln x} = \frac{1}{2} x \frac{\partial \ln T_c}{\partial x}, \quad (31)$$

где

$$\begin{aligned}
\frac{\partial \ln T_c}{\partial x} = & - \left[\frac{1}{Z} + \sqrt{\frac{\mu_1}{E}} \frac{1}{\lambda_{\Delta}^0} \right] \frac{\partial Z}{\partial x} + \\
& + \sqrt{\frac{\mu_1}{E}} \frac{Z}{\lambda_{\Delta}^0} \frac{\partial \lambda_{\Delta}^0}{\partial x} - \frac{\partial}{\partial x} \Phi(\omega_0\mu_1 x), \quad (32)
\end{aligned}$$

$$Z = 1 + \lambda_z^0 f_z, \frac{\partial Z}{\partial x} = \lambda_z^2 f_z \frac{\partial P_V}{\partial x} + \lambda_z^0 \frac{\partial f_z}{\partial x},$$

$$\frac{\partial \lambda_{\Delta}^0}{\partial x} = 3\lambda_0^2 \frac{\partial P_V}{\partial x}, \quad (33)$$

$$f_z = f_z^{(1)} + f_z^{(2)},$$

$$\begin{aligned}
 f_z^{(1)} &= \frac{1}{2} \sqrt{\frac{E}{\mu_1}} \left\{ \frac{1}{1+x} + \frac{1}{1-x} - \frac{x}{2(x+1)^{3/2}} \ln \frac{\sqrt{1+x}-1}{\sqrt{1+x}+1} \right\}, \\
 f_z^{(2)} &= \frac{1}{2} \sqrt{\frac{E}{\mu_1}} \frac{x}{2(1-x)^{3/2}} \ln \frac{1-\sqrt{1-x}}{1+\sqrt{1-x}} \Theta(1-x) + \\
 &\quad + \frac{1}{2} \sqrt{\frac{E}{\mu_1}} \frac{x}{2(x-1)^{3/2}} \times \\
 &\quad \times \left[\frac{\pi}{2} - \operatorname{arctg} \sqrt{\frac{1}{x-1}} \right] \Theta(x-1). \quad (34)
 \end{aligned}$$

Величины λ_z^0 , λ_Δ^0 , P_V , Φ определяются формулами (16), (19), (11) и (24) соответственно.

5. Анализ результатов

Наличие корневой особенности в плотности электронных состояний (1), связанной с одномерным законом дисперсии энергии электронов, в неадиабатических системах играет двойную роль в вопросе возникновения сверхпроводимости при высоких температурах. Во-первых, эта особенность сама по себе приводит к высоким T_c вблизи особой точки $\mu_1 = 0$. Во-вторых, благодаря одномерному движению электронов и их рассеянию «вперед» передаваемый импульс при электрон-фононном взаимодействии оказывается малым. Это обстоятельство приводит к большому положительному значению вершинной функции, а значит и к значительному увеличению константы электрон-фононного взаимодействия и температуры сверхпроводящего перехода T_c .

На рис. 1 приведена зависимость вершинной функции P_V (11) от отношения μ_1/ω_0 при различ-

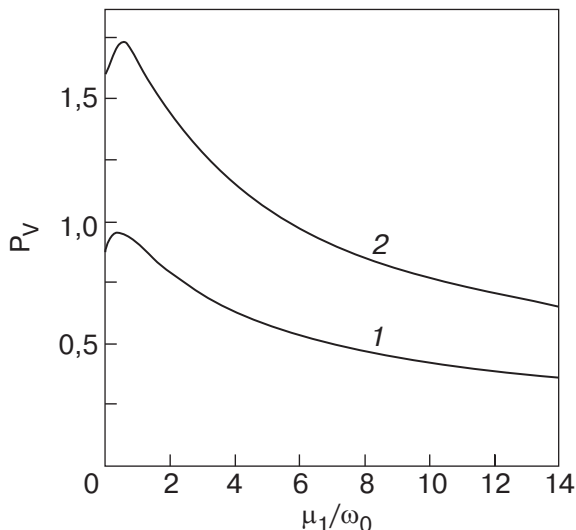


Рис. 1. Зависимость вершинной функции P_V от отношения μ_1/ω_0 при значениях E/ω_0 : 3 (1) и 10 (2).

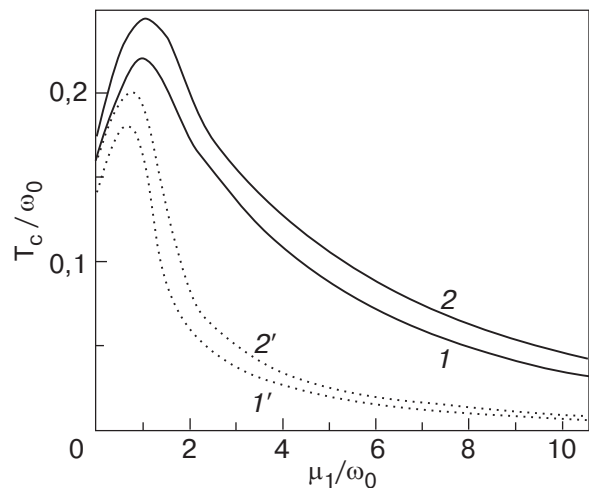


Рис. 2. Зависимость критической температуры T_c от параметра μ_1/ω_0 : $E/\omega_0 = 3$, $\lambda_0 = 0,5$ (1) и (1'); $E/\omega_0 = 10$, $\lambda_0 = 0,3$ (2) и (2'). Сплошные кривые соответствуют неадиабатической системе, прерывистые — адабатической.

ных значениях соотношений между E и ω_0 . Как видно на рисунке, вблизи точки $\mu_1 = 0$ функция P_V достигает максимального значения и способствует увеличению параметров λ_z (16) и λ_Δ (19).

Решение уравнения (23) для температуры сверхпроводящего перехода T_c как функции от μ_1/ω_0 приведено на рис. 2. В процессе вычислений использованы также аналитические формулы (26) и (27). Максимальное значение величины T_c как в случае неадиабатической системы (кривые 1, 2), так и адабатической (кривые 1', 2') достигается при $\mu_1 \approx \omega_0$, а не в точке $\mu_1 = 0$, как утверждается в работе [1]. Причину такого поведения легко видеть из уравнения (22). В частности, при $W \rightarrow \infty$ с уменьшением μ_1 уменьшается значение нижнего предела интегрирования в правой части этого уравнения и увеличивается подынтегральная функция. Конкуренция этих двух факторов приводит к сдвигу вправо максимума величины T_c по отношению к особой точке $\mu_1 = 0$.

По нашему мнению, в неадиабатической системе электронная энергия E не может быть значительно больше значения фононной ω_0 , как это имеет место в обычных сверхпроводниках, и, следовательно, достичь $T_c \sim 100$ К и больше при малых значениях λ_0 можно, если учитывать оба эффекта: наличие особой точки в импульсном пространстве, приводящей к корневой особенности в плотности электронных состояний, и эффекты неадиабатичности, нарушающие теорему Мигдала ($P_V > 0$).

Вклад неадиабатичности в величину T_c в значительной степени зависит от параметров теории и существует при всех значениях отношения μ_1/ω_0 , увеличиваясь по мере удаления от особой точки

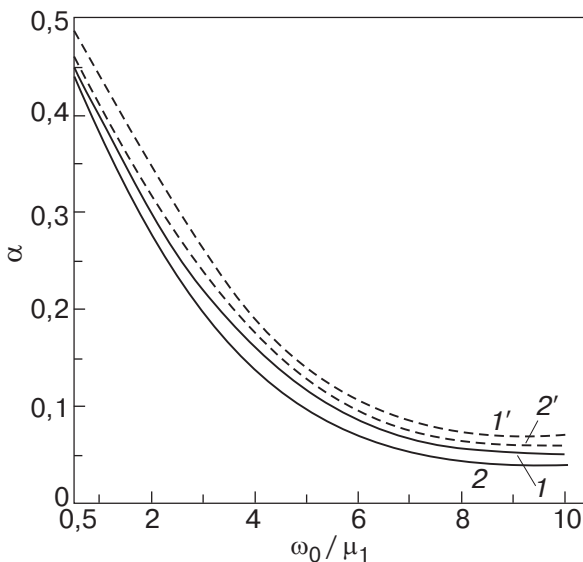


Рис. 3. Зависимость изотопического коэффициента от ω_0/μ_1 : $E/\omega_0 = 3$, $\lambda_0 = 0,5$ (1) и (1'); $E/\omega_0 = 10$, $\lambda_0 = 0,3$ (2) и (2'). Сплошные кривые соответствуют неадиабатической системе, прерывистые — адиабатической.

$\mu_1 = 0$. Как видно на рис. 1, в рассмотренных неадиабатических системах легко достигаются значения T_c , присущие материалам с высокотемпературной сверхпроводимостью. Отметим, что полученные нами решения являются заниженными из-за факторизации фононной функции Грина (см. приближение (17)). В системах с постоянной плотностью электронных состояний величина T_c благодаря приближению (17) меньше на множитель $e_0^{-1/2}$ (e_0 — основание натурального логарифма) [4,6,14]. В нашем случае для системы с корневой особенностью в плотности электронных состояний это занижение соответствует в среднем множителю 0,45.

На рис. 3 изображена зависимость коэффициента изотопического эффекта α от отношения ω_0/μ_1 , полученная на основании приведенных выше формул (31)–(34). Наблюдается существенное уменьшение изотопического эффекта по мере приближения к особой точке $\mu_1 = 0$ (в адиабатических системах — кривые 1', 2'). Качественная картина в этом случае согласуется с результатом работы [1]. Наряду с этим возникает дополнительное уменьшение, обусловленное эффектом неадиабатичности (кривые 1, 2).

Таким образом, можно полагать, что малость коэффициента изотопического эффекта в итриевых керамиках может быть истолкована совместным влиянием наличия «протяженной» особенности в электронном энергетическом спектре и неадиабатичностью этих систем.

Выражаю искреннюю признательность В. Урсу за помошь в численных расчетах и С.А. Палистрantu за оформление работы.

1. A.A. Abrikosov, Y.C. Campuzano and K. Gofron, *Physica* **C214**, 73 (1993).
2. A.A. Abrikosov, *Physica* **238**, 191 (1994); *Phys. Rev. B* **51**, 11955 (1995); *Phys. Rev. B* **52**, R15738 (1995); *Phys. Rev. B* **53**, R8910 (1996).
3. А.Б. Мигдал, *ЖЭТФ* **34**, 1438 (1958).
4. L. Pietronero, S. Strassler, and C. Grimaldi, *Phys. Rev. B* **52**, 10516 (1995).
5. C. Grimaldi, L. Pietronero, and S. Strassler, *Phys. Rev. B* **52**, 10530 (1995).
6. М.Е. Палистрант, *ФНТ* **26**, 557 (2000); *ФНТ* **29**, 1173 (2003).
7. М.Е. Palistrant and F.G. Kochorbe, *J. Phys.: Condens. Matter* **12**, 2217 (2000).
8. М.Е. Палистрант, *Теор. Мат. Физ.* **119**, 455 (1999); *ФНТ* **28**, 157 (2002); *Теор. Мат. Физ.* **135**, 137 (2003).
9. М.Е. Palistrant and F.G. Kochorbe, *J. Supercond.: Incorporating Novel Magnetism* **15**, 113 (2002); *J. Phys.: Condens. Matter* **15**, 3267 (2003); *Int. J. Mod. Phys. B* **17**, 2545 (2003).
10. А.А. Абрикосов, Л.П. Горьков, И.Е. Дзялошинский, *Методы квантовой теории поля в статистической физике*, Наука, Москва (1962).
11. W.L. McMillan, *Phys. Rev.* **167**, 331 (1968).
12. D.E. Morris, R.M. Kuroda, A.G. Markelz, J.H. Nickel, and J.Y.T. Wei, *Phys. Rev. B* **37**, 5936 (1988).
13. J. Labbe and J. Bok, *Europhys. Lett.* **3**, 1225 (1987).
14. R. Combescot, *Phys. Rev. B* **42**, 7810 (1990).

Superconductivity in nonadiabatic systems with an extended saddle point singularity in the energy spectrum

M.E. Palistrant

An equation for superconducting transition point T_c is derived in the linear-in-nonadiabacity approximation for the system with a root singularity in the density of electronic states. The vertex function is calculated. Analytical expressions for T_c in the limiting cases $T_c \ll \mu_1$ and at the point $\mu_1 = 0$ (μ_1 is the singular point) and expressions for isotope effect coefficient are obtained. It is shown that the contribution of the nonadiabatic effects to T_c is considerable and decreases with approaching the singular point $\mu_1 = 0$. It is found that the isotope effect is insignificant due to both the presence of the above singularity in the electronic energy spectrum and the nonadiabacity of the system.